

التبخر نتج الأهم الزراعات في مناطق مختلفة مناخياً من سورية

الدكتور أدهم جلب*

الدكتور ميشيل سكايف*

(ورد إلى المجلة في 1999/6/3، قبل للنشر في 1999/8/15)

□ الملخص □

مكنّت دراسة معدلات التبخر نتج الكامن ETP وكميات الأمطار الشهرية Pmm خلال فترة عشر سنوات من تحديد مقدار الفائض أو العجز المائي في مناطق مناخية مختلفة من القطر العربي السوري. تم حساب المقننات المائية الواجب توفرها خلال المرحلة الحرجة لنمو القمح الربيعي وتحديد مقدار العجز المائي خلال الفترات الممكنة لنمو القمح الربيعي في المناطق المدروسة بالاستعانة بقيم الاستهلاك المائي للحمضيات KC أمكن حساب التبخر نتج الحقيقي ETr استناداً إلى قيم التبخر نتج الكامن ETP في منطقتي المربعية وجبلية. أيضاً حددت قيم ETr خلال المرحلتين الحساستين لاستهلاك الزيتون للماء في جبلية. أخيراً تم الاستفادة من المعامل الحراري الرطوبي $H.T.K$ لتحديد كمية الماء الواجب إضافتها إلى بساتين الحمضيات خلال الأشهر الجافة في جبلية.

* مدرس في قسم الحراج والبيئة كلية الزراعة - جامعة تشرين - اللاذقية - سورية

Evapotranspiration for Most Important Agricultural Crops in Different Climatic Zones of Syria.

Dr. Adham JALAB^{*}
Dr. Mischel SKAF^{*}

(Received 3/6/1999, Accepted 15/8/1999)

□ ABSTRACT □

Studying the rate of potential evapotranspiration (ETP) and monthly precipitation (Pmm) for a period of ten years enabled us to determine the surplus or water deficit in same climatic zones in Syria. We calculated the quantity of water that should be available during the crucial stage of spring wheat growth. We also determined the quantity of water deficit during possible stages of spring wheat growth in the studied areas. Using values for citrus water uses (KC) and values of potential evapotranspiration (ETP), we calculated the actual evapotranspiration (ETr) for tow Zones: Al- Mariiah and Jableh. We also determined (ETr) values for the two periods where olive -trees are susceptible to water shortage in Jableh. Finally we used the humid -thermal-coefficient (H.T.K) to determine the quantity of water that should be added to citrus orchards during dry months in Jableh.

^{*}Lecturer, Department of Forestry & Ecology, Faculty of Agriculture, Tishreen University, Lattakia, SYRIA.

التبخر نتج الحقيقي Actual
Evapotranspiration " ETr " وهو يمثل
كمية الماء المنقولة فعليا من واحدة المساحة
لأرض مغطاة بالنباتات إلى الغلاف الجوي
في واحدة الزمن تحت الظروف البيئية
المسندة (Schrödter, 1985).

إن كميات الماء المستهلكة لتكوين 1
كغ من المادة الجافة للنبات والتي يطلق
عليها معامل النتج Transpiration
Coefficient والتي تتراوح بين 200 -
1000 ليتر تتوقف على النوع النباتي
المزروع وبالتالي فإن إنتاجية النوع النباتي
من المادة الجافة في واحدة المساحة يسمح
بتحديد دقيق تقريبا عن كميات الماء اللازمة
لبناء المادة النباتية الجافة والتي تمثل 13 -
22 % من وزن النبات (Hanke, 1986).

هدف البحث وأهميته:

تتجلى الأهمية العملية لحساب التبخر -
نتج الحقيقي ETr اعتبارا من قيم التبخر نتج
الكامن ETP وبمعرفة معامل استهلاك
النبات للماء KC والذي يعبر عن المقننات
المائية اللازمة، خاصة في المراحل الحرجة
لنمو النبات والتي تتعكس في حال عدم
توفرها سلبا على إنتاجيته.
كما أن تقدير العجز أو الفائض المائي
(الميزان المائي المناخي) من خلال معرفة
التوزع السنوي للأمطار والتبخر نتج إضافة

إلى كميات متطلبات الأصواع الترابية
للماء تحت مختلف الظروف البيئية يحتاج
إلى تجارب حقلية دقيقة تستمر لسنوات
عديدة، ونظرا للصعوبات المختلفة التي
تواجه تجارب المقننات المائية في الحقل؛
وتجأ الباحثون للاستعانة بمعادلات رياضية
تستند إلى معطيات مناخية خاصة بكل
منطقة تصاح إلى الماء. تظهر الأهمية
الكبيرة للتبخر نتج Evapotranspiration في
تقدير حاجة النباتات للماء لكون نمو وتطور
أي نبات يتوقف على التوازن المائي بين
كميات الماء المقنونة بالتبخر نتج وكميات
الماء المضافة خلال موسم النمو عن طريق
البيطولات أو الري. وهنا يمكن التمييز بين
توعين من التبخر نتج:

للتبخر نتج الكامن Potential

Evapotranspiration "ETP" لقد حددته
اللجنة الدولية للري والصرف ICID في
تسايفنت هذا التمرن بأنه: كمية بخار الماء
الغضبي التي تنتقل إلى الغلاف الجوي في
واحدة الزمن من سطح مغطى كليا بالنموات
النباتية وتحت ظروف مائية وغذائية مثالية
وإن وجود أي عائق لتأمين المياه تحت
الظروف المسندة سواء أكانت ميكورولوجية
- حالة التربة الفيزيائية - نوعية النموات
والزراعت المحيطة بالموقع (Schrödter,
1985).

سنوات امتدت خلال المواسم الزراعية (1982 - 1983) وحتّى (1992 - 1993). حسب سجلات المديرية العامة للأرصاد الجوية، وشملت المحطات المناخية الزراعية التالية: (جبل، المسلمية، الحسكة، المريحية، السلمية، حمص، ازرع) الجدول (1).

إلى حاجة الأبنات الماء، يعطي صورة واضحة عن مدى الحاجة للماء في مختلف المناطق المنروسة وعلى مدار العام.

طرق البحث وأدواته

استند البحث إلى معطيات متورواوجبة تمثل القيم الشهرية المقادير التالية: درجة حرارة الهواء °C، كميات الأمطار مم، الرطوبة الجوية % لفترة 10

الجدول (1) يبين الموقع الجغرافي والارتفاع عن سطح البحر للمحطات المنروسة

المحطة	خط العرض	خط الطول	الارتفاع عن سطح البحر (m)
جبل	35° 15'	35° 58'	40
المسلمية	36° 20'	37° 13'	425
الحسكة	36° 30'	40° 45'	300
المريحية (دير الزور)	35° 20'	40° 09'	204
السلمية	35° 00'	32° 02'	480
حمص	34° 45'	36° 43'	487
ازرع	32° 51'	36° 15'	575

(المرجع المناخي الزراعي، 1975)

الحالة الأولى: الرطوبة النسبية أكبر من 50 % وتأخذ المعادلة الشكل التالي:

$$ETP = 0.40 \left(\frac{r}{r+15} \right) (Rs + 50)$$

الحالة الثانية: الرطوبة النسبية أقل من 50 % وتصبح المعادلة:

جرى حساب التبخر نتح الكامن ETP للفترات الشهرية خلال 10 سنوات في المحطات المذكورة وفقاً لمعادلة تورك "Turc" (Schrödter, 1985) حيث توجد حالتان لاستخدام المعادلة:

حيث Ra: الإشعاع الشمسي النظري
بالكالوري / سم² / يوم ويعطى من الجدول
حيث: (2)

$$ETP = 0.40 \left(\frac{t}{t+15} \right) (R_s + 50) \left(1 + \frac{50 - RH}{70} \right)$$

N: عدد ساعات سطوع الشمس
النظري شهرياً وتعطى من الجدول (2).
n: عدد ساعات سطوع الشمس
الحقيقية شهرياً وقد تم حسابها استناداً إلى
المعدل اليومي لمدة سطوع الشمس
الموضح في الجدول (3).

ETP: التبخر نتج الكامن مم / شهر.
t: متوسط درجة الحرارة الشهرية °C.
RH: الرطوبة الجوية النسبية %.
R_s: الإشعاع الشمسي الحقيقي مقدراً
بالكالوري / سم² / يوم. ويحسب من خلال
المعادلة:

$$R_s = Ra \left(0.18 + 0.62 \frac{n}{N} \right)$$

الجدول (2) يبين قيم الإشعاع الشمسي النظري Ra مقدراً بالكالوري / سم² / يوم وعدد ساعات السطوع
الشمسي الشهرية النظرية N.

خط العرض	الشهر الخصر	Jan	Feb	Mar	Apr	May	Jun	Jul	Aug	Sep.	Oct.	Nov	Dec
34	Ra	450	612	728	961	948	977	956	878	757	609	473	411
	N	315	308	372	391	433	433	446	416	372	315	312	307
35	Ra	436	610	719	857	941	979	957	875	749	597	459	396
	N	312	307	371	392	436	435	442	417	372	350	310	304
36	Ra	422	607	709	852	946	980	957	871	741	585	445	381
	N	310	306	371	393	438	438	445	415	373	305	308	301
37	Ra	407	604	700	847	946	981	957	868	733	573	431	367
	N	308	304	371	395	440	441	447	420	373	349	306	299

(الكنج، 1982)

اختيرت قيم Ra و N للمحطات المدروسة وفقاً لأقرب خط عرض جغرافي من كل محطة.

الجدول (3) يبين المعدل اليومي لمدة سطوح الشمس "n" بالساعات في محطات المدروسة.

المحطة	الشهر	24	شباط	آذار	نيسان	أيار	حزيران	تموز	أب	أيلول	15	25	14
	خط العرض	Jan	Feb	Mar	Apr	May	Jun	Jul	Aug	Sep.	Oct.	Nov	Dec.
حجة (المنجوق)	35° 35'	5.1	5.9	7.1	8.5	10.4	11.6	11.4	11.1	10.2	8.4	6.8	5
المسبية (مط)	36° 11'	4.3	5	6.7	8.1	10.6	12.4	12.7	12	10.5	8.5	6.8	4.5
المسكة	36° 30'	4.7	5.7	6.7	7.5	9.9	12.2	12.4	11.7	10.3	8.1	6.8	4.8
قربوع (شمر)	35° 20'	5.2	6.3	7.3	8.3	10.2	12.1	12.3	11.9	10.6	8.5	7.2	5.3
المسبية (مط)	35° 08'	4.2	5.5	7.1	8.4	10.7	12.5	12.7	12	10.5	8.5	6.8	4.5
قربوع (مصر)	34° 40'	4.1	5.3	6.9	7.6	9.2	10.5	10.1	9.7	9.8	8.2	6.9	4.5
أردع (مستوق)	35° 29'	5.4	6.5	8	8.9	10.8	12.5	12.7	11.9	10.7	9	7.5	5.7

(المرجع المناخي الزراعي، 1975)

أخذت المناطق الأقرب للمحطات المدروسة والمعدة لها والتي حسبت لها قيم n.

خاصة بسبب تركيز زراعتها ضمن عروض محددة من المناطق المتوسطة.

تم حساب التبخر نتج الحقيقي ETr خلال المرحلة الحرجة بالنسبة لاستهلاك التمح الربيعي للماء وهي المرحلة التكنولوجية الممتدة من استظالة الساق وحتى ظهور السنابل Cinizina, and Golesberg (1973). إن معامل استهلاك التمح للماء خلال المرحلة الحرجة يختلف بحسب الظروف الميئورولوجية السائدة وخاصة الرطوبة الجوية وسرعة الرياح كما يتضح من الجدول (4).

إن التبخر نتج الحقيقي ETr الذي يعبر عن الاستهلاك المائي لتغلي النباتات تم حسابه بالاعتماد على قيم التبخر نتج الكامن ETP ومعامل استهلاك النبات للماء KC الذي يتغير من نبات لآخر ومن مرحلة نمو إلى أخرى بالنسبة لنفس النبات ويصعب بالشكل التالي:

$$KC = \frac{ETr}{ETP} \quad (\text{مطر، 1983})$$

لقد تناول البحث ثلاثة أنواع نباتية أساسية منتشرة في القطر العربي السوري وهي التمح كأهم محصول اقتصادي إضافة إلى الحمضيات والزيتون التي تمتلك أهمية

الجدول (4) يبين تغير معامل استهلاك الماء KC تبعا للرطوبة الجوية وسرعة الرياح

رطوبة جوية أقل من % 20		رطوبة جوية أكبر من % 70		الرطوبة الجوية %
(8-5)	(5-0)	(8-5)	(5-0)	سرعة الرياح م/ثا
1.2	1.15	1,1	1.05	معامل استهلاك الماء KC

(مطر، 1983).

إن قيم KC لبساتين الحمضيات خلال الفترات المختلفة والتي تمثل مختلف حالات التغطية النباتية بوجود الأعشاب أو عدم وجودها تم الحصول عليها من الجدول (5).

لقد تم حساب ET_r خلال المرحلة الحرجة لنمو القمح في المحطات السبع المدروسة والتي تمثل مناطق مناخية مختلفة من سوريا باستخدام قيم ETP المحسوبة وفقا لمعادلة تورك Turc وقيم معامل استهلاك الماء KC.

الجدول (5) يبين قيم معامل استهلاك الماء KC لبساتين الحمضيات المختلفة لتغطية اللبائية والنظافة من الأضباب، المزروعة في منطقة جافة تحت ظروف رياح خفيفة إلى معتدلة خلال أشهر السنة (مطر، 1983).

أشجار تغطي 20 % من سطح التربة		أشجار تغطي 50 % من سطح التربة		أشجار تغطي < 70 % من سطح التربة		درجة التغطية
بستان + أعشاب	بستان نظيف	بستان + أعشاب	بستان نظيف	بستان + أعشاب	بستان نظيف	نظافة البستان الأشهر
1	0.55	0.9	0.65	0.9	0.75	ت 1 Oct.
1	0.55	0.9	0.65	0.9	0.75	ت 2 Nov.
0.95	0.5	0.85	0.6	0.85	0.7	ك 1 Dec.
0.95	0.5	0.85	0.6	0.85	0.7	ك 2 Jan.
0.95	0.5	0.85	0.6	0.85	0.7	شباط Feb.
0.95	0.45	0.85	0.55	0.85	0.65	آذار Mar.
0.95	0.45	0.85	0.55	0.85	0.65	نيسان Apr.
0.95	0.45	0.85	0.55	0.85	0.65	ايار May
0.95	0.45	0.85	0.55	0.85	0.65	حزيران Jun.
0.95	0.45	0.85	0.55	0.85	0.7	تموز Jul.
0.95	0.5	0.85	0.6	0.85	0.7	أب Aug.
0.95	0.5	0.85	0.6	0.85	0.7	أيلول Sep.

يمكن أن يغني المخزون المائي للتربة حتى نهاية أيار.

أما بالنسبة للزيتون فتعتبر المراحل الفينولوجية الأكثر حساسية لاستهلاك الماء هي مرحلة ما قبل تفتح الأزهار، وتقع خلال شهري آذار ونيسان إضافة إلى مرحلة تصلب النواة وانتفاخ الثمرة وامتلائها وهي تتوافق مع شهري آب وأيلول، وقد تم حساب ETr لأشجار الزيتون الناضجة اعتماداً على قيم ETP المحسوبة ومعامل استهلاك النبات

تعتبر هذه القيم المعروضة في الجدول (5) عن بساتين الحمضيات المزروعة في منطقة جافة، وهذا ينطبق على المربعية التي تمثل منطقة دير الزور، أما بالنسبة للمنطقة الساحلية التي تمثلها جبلة، فإن القيم المدرجة في الجدول تنطبق على الأشهر الجافة، أما أشهر الشتاء فتكون مختلفة، ولكن ذلك من الناحية العملية لا أهمية له نظراً لتوفر الأمطار بشكل كاف بحيث

$C > 10$: مجموع درجات الحرارة
النشطة المتراكمة خلال نفس الفترة.

النتائج والمناقشة:

- التبخر نتح الكامن ETP في

المناطق المدروسة.

تدل النتائج المدونة في الجدول (6) قيم

التبخر نتح الكامن ETP السنوية المحسوبة

وفقا لمعادلة تورك لفترة 10 سنوات تمتد

خلال المواسم (1982-1983) وحتى (1992-

1993) حيث نجد أنها تتغير أحيانا وبشكل

ملحوظ من عام لآخر تبعا للظروف

المتورولوجية السائدة كما تتغير من منطقة

إلى أخرى حيث تزداد قيم ETP بازدياد

جفافية المنطقة.

للماء KC الذي يتغير من 0,4 إلى 0,7
بحسب صر الأشجار والمسافة بينها (مطر،
1983).

كما أمكن تحديد كمية المياه الواجب

توفرها لنمو النبات بشكل جيد إذا لم تتوفر

الأمطار خلال فترة معينة وتلك بمعرفة

درجة الحرارة خلال هذه الفترة وقيمة

المعامل الحراري الرطوبي لنبات معين

المحسوب وفقا لمعادلة سيليانينوف (المرجع

المناخي الزراعي، 1975).

حيث

$$H.T.K. = \frac{\sum P_{mm}}{0.1 \sum t 10^{\circ} C}$$

H.T.K. : المعامل الحراري الرطوبي.

Pmm : كمية الأمطار الهاطلة خلال

فترة معينة (مم).

الجدول (6) يوضح مجموع قيم التغير في نتائج ETP السنوية (م) من عام لآخر في المناطق المدروسة

المسئول X	10	9	8	7	6	5	4	3	2	1	المسئول المسئول
1303.1	1277.2	1296.8	1332.4	1261.2	1308.5	1286.4	1296.7	1330.8	1337.4	1304.3	جيلة
1254.7	1265.3	1197.5	1246.8	1275.6	1288.3	1233.1	1275.4	1287.3	1271.3	1206	المسئول
1277.8	1263.1	1223.2	1312.5	1296.1	1269.5	1294.6	1312.2	1264.6	1297.9	1245	المسئول
1349.8	1329.8	1292.6	1356.2	1362	1366	1355.6	1403.1	1339.3	1381.7	1311.3	المسئول
1255.8	1215.8	1146.1	1275.3	1276.6	1267.5	1242.6	1332.9	1282.7	1294.5	1224.5	المسئول
1216.8	1179.4	1274.2	1341.1	1218.7	1189.8	1186.4	1218.6	1193.8	1207.1	1159.4	حصص
1316.4	-	1323.5	1296.4	1355.8	1327.4	1338.1	1221.3	1347.9	1321.9	1315.1	الزرع

كما تتغير قيم ETP من شهر لآخر في المناطق السبع المدروسة وهذا ما يتضح في الجدول (7) حيث يلاحظ أن قيم ETP تتغير بشكل كبير من فترة لأخرى خلال الأشهر المختلفة ولكنها تأخذ نفس المسار تقريباً في جميع المحطات المدروسة إنما بقيم مختلفة من منطقة إلى أخرى، ونلاحظ أن أقل قيم ETP هي في فصل الشتاء، ثم ترتفع مع حلول فصل الربيع وتصل إلى ذروتها في فصل الصيف، ثم تعود للانخفاض في الخريف تدريجياً إلى أن تصل ثانية إلى نهايتها الصغرى في الشتاء، كما يلاحظ التوزيع المطري Pmm على مدار

العام في مختلف المحطات والذي يمتاز بأن فصل الصيف جاف تماماً، بينما تتركز معظم كميات الهطول المطرية في فصل الشتاء تليها هطولات فصل الربيع ثم الخريف. إن المسار السنوي للأمطار Pmm يتعاكس مع المسار السنوي للتبخر نتج الكامن ETP بسبب الجفاف وارتفاع درجات الحرارة في أشهر الصيف بينما تهطل الأمطار بشكل أساسي خلال أشهر الشتاء حيث أن قيم ETP تكون في حدودها الدنيا نتيجة لانخفاض درجات الحرارة.

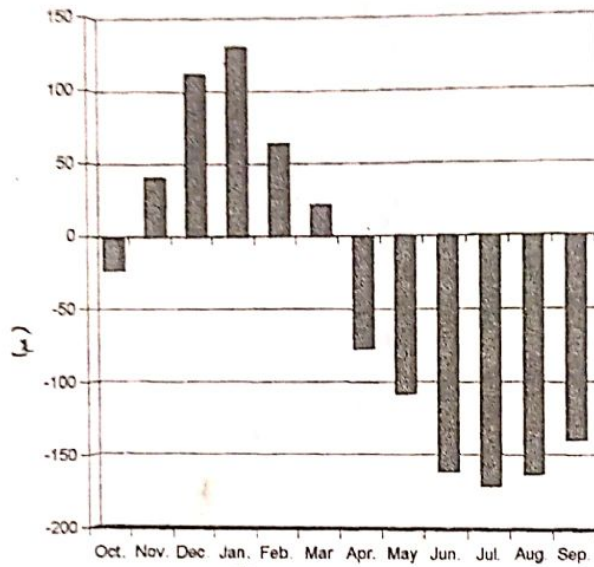
الجدول (7) المعدل الشهري لقيم ETP والأمطار Pmm ومقدار العجز أو الفائض المائي الشهري Pmm خلال فترة العطر سنوات لبعض المحطات المناخية الزراعية في سوريا.

الفترة الممكنة لنمو القمح الربيعي في مختلف المناطق المدروسة في سوريا															
المحطة	العصر	ت1	ت2	ت3	ت4	ت5	ت6	ت7	ت8	ت9	ت10				
المحطة	العصر	ت1	ت2	ت3	ت4	ت5	ت6	ت7	ت8	ت9	ت10				
الصحبة	ETP	90.5	67.8	42.5	41.6	61.9	84.5	117.1	149.5	172.8	169.9	163.4	141.2		
	Pmm	67.2	107.4	152.7	170.6	125.2	105.9	40.3	42.5	12.4	0.2	1.7	2.5		
	$\pm \Delta Pmm$	-23.3	40.1	110.2	129.0	63.3	21.4	-76.8	-107	-160.4	-169.7	-161.7	-138.7		
	الصحبة	ETP	88.5	5.0	30.9	20.0	35.3	72.0	105.7	150.6	184.6	189.6	175.8	144.3	
		Pmm	21.3	25.0	44.7	52.2	44.4	46.7	32.6	13.5	3.9	0.0	0.6	0.9	
		$\pm \Delta Pmm$	-67.2	-2.0	13.8	32.2	9.1	-25.3	-82.1	-137.1	-189.7	-189.6	-175.2	-143.4	
		الصحبة	ETP	89.2	54.5	31.4	22.8	42.4	70.1	105.9	150.7	190.5	198.2	175.5	146.3
			Pmm	21.2	31.7	32.5	43.6	42.1	46.2	31.7	32.1	1.3	0.7	0.2	0.2
			$\pm \Delta Pmm$	-68	-22.8	1.1	20.8	-0.3	-23.9	-74.2	-127.6	-189.2	-197.5	-175.3	-146.1
			الصحبة	ETP	95.3	60	31	32.7	51.6	79.4	121.2	156.5	189.3	197.5	182.8
Pmm				13.0	17.7	20.3	19.3	19.8	32.9	6.5	7.9	0.2	0.0	0.4	0.0
$\pm \Delta Pmm$				-82.3	-42.3	-10.7	-13.4	-31.8	-46.5	-114.7	-148.6	-189.1	-97.5	-182.4	-152.3

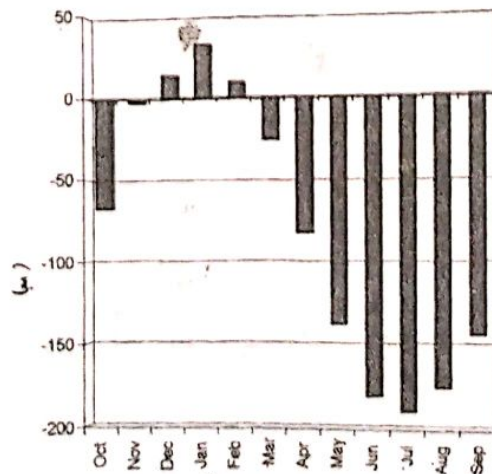
الرجوع	التغير	1 ^ت Oct.	2 ^ت Nov.	3 ^ت Dec.	Jan. 2 ^ك	شباط	آذار	نيسان	أيار	حزيران	تموز	أب	أيلول
المالية	ETP	95.0	51.7	28.9	25.2	43.2	71.1	108.4	152.0	180.0	185.5	170.8	143.6
	Pmm	17.6	33.2	44.7	52.9	47.0	43.8	21.8	20.4	5.0	0.0	0.2	0.1
	± ΔPmm	-77.4	-18.5	15.8	27.7	3.8	-27.3	-86.6	-131.6	-175	-185.5	-170.6	-143.5
حصص	ETP	94.7	61.6	35.2	29.3	44.4	71.0	115.0	139.3	165.9	164.8	154.3	141.4
	Pmm	33.2	49.2	64.6	70.9	75.0	58.7	22.8	16.7	8.9	0.0	0.0	0.5
	± ΔPmm	-61.5	-12.4	29.4	41.6	30.6	-12.3	-92.2	-122.6	-157	164.8	-154.3	-140.9
الرجوع	Pmm	100.1	61.7	34.3	31.9	44.2	82.3	121.1	148.8	180.0	184.3	171.1	184.2
	Pmm	8.6	37.7	57.0	54.7	61.6	34.9	10.5	2.8	1.3	0.0	0.0	0.0
	± ΔPmm	-91.5	-24	22.7	22.8	17.4	-47.4	-101.6	-146.0	-178.7	-184.3	-171.1	-184.2

$\Delta Pmm = Pmm - ETP$ (موسمى 1986)
 يمكن ملاحظة المخططات البيانية (1-1) وحتى
 (7-1) التي تعطي صورة واضحة عن مدى
 الحاجة للماء خلال الأشهر الجافة والتي
 بدورها تتوقف على نوع النبات والتربة .

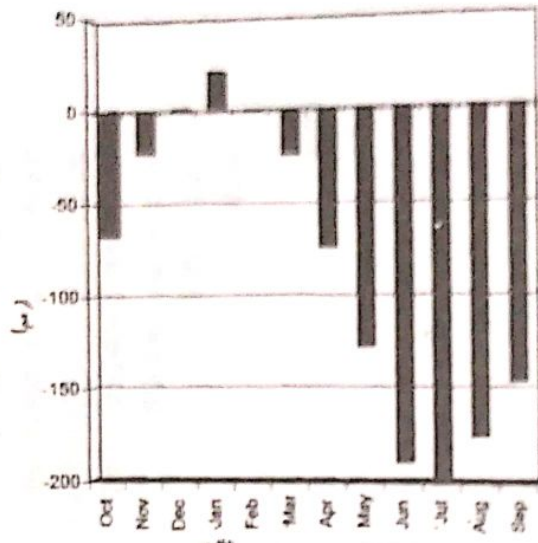
من أجل تصور مقدار العجز أو الفائض المائي
 والذي يمثل الفرق ما بين الوارد على شكل
 أمطار Pmm والمفقود كتبخير نتج كامن ETP
 خلال الأشهر المختلفة في المحطات
 المدروسة .



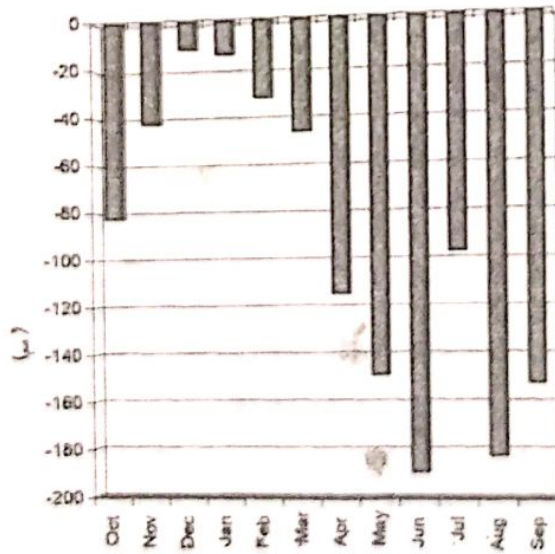
مخطط (1-1) الفائض و العجز المائي كمعدل لفترة العشر سنوات في جبلة



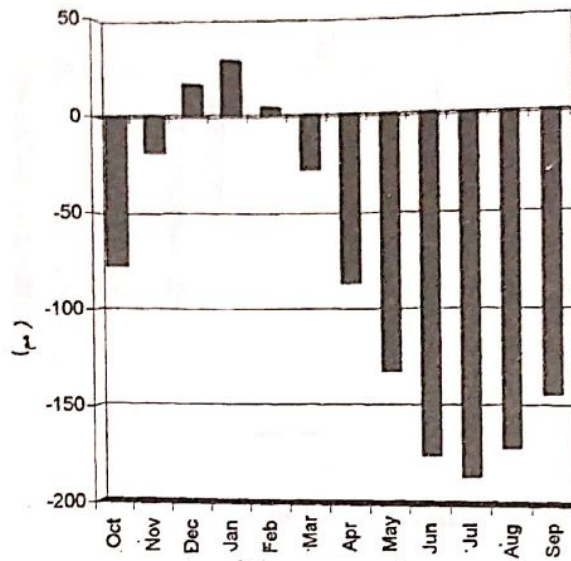
مخطط (2-1) الفائض والعجز المائي كمعدل لفترة العشر سنوات في المسامرية



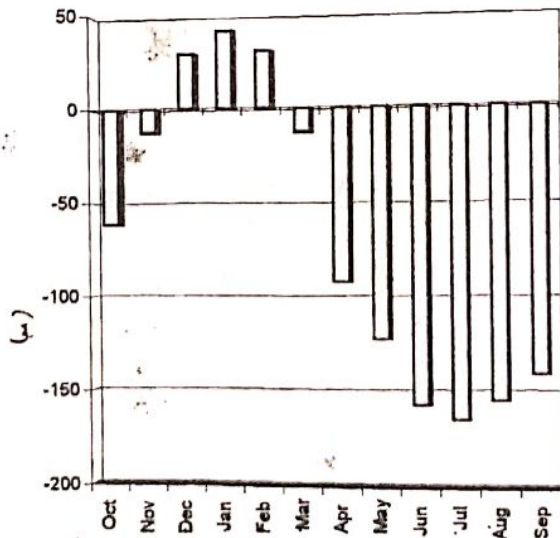
مخطط (3-1) التقلص والتميز المعاني كمعدل لفترة العشر سنوات في الحسكة



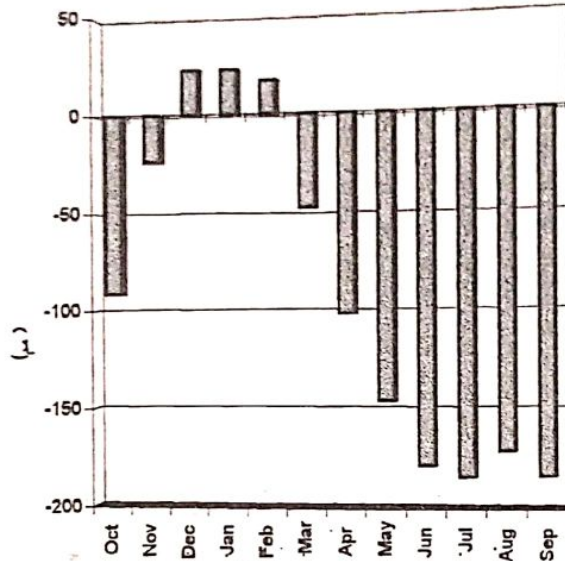
مخطط (4-1) التقلص والتميز المعاني كمعدل لفترة عشر سنوات في المريحية



مخطط (5-1) الفائض والعجز المالي لفترة العشر سنوات في السلفية الأشهر



مخطط (6-1) الفلاض والعجز المالي كمعدل لفترة العشر سنوات في حمص الأشهر



مخطط (7-1) الفائض والعجز المائي لفترة الأشهر سنوات في ازرع

هذا العجز يظهر أحياناً في بعض أشهر الشتاء كما في المربعية الأمر الذي يقتضي ضرورة توفير مياه الري لضمان نجاح زراعة القمح. إن المرحلة الفينولوجية الحرجة بالنسبة لاستهلاك القمح الربيعي للماء هي (مرحلة استطالة الساق وحتى التسنبل). إن عدم توفر الكميات الكافية من الماء خلال هذه الفترة ينعكس سلباً على إنتاجيته (Chirkov , 1986). إن حساب Etr لهذه المرحلة يعبر عن كمية الماء الواجب توفرها فعلياً أي المقننات المائية في حال عدم هطول الأمطار. تتغير قيم Etr المحسوبة اعتباراً من ETP ومعامل الاستهلاك المائي KC لهذه الفترة الذي يتغير وفقاً لتغير الرطوبة الجوية

التبخر نتح الحقيقية ETr للقمح

الربيعي:

إن فترة نمو القمح الربيعي في سوريا تنحصر في جميع المناطق تقريباً ضمن الفترة الممتدة من نهاية الخريف وحتى نهاية الربيع، لذلك فقد أخذت الفترة من بداية تشرين الثاني وحتى نهاية أيار لدراسة واقع التبخر نتح الكامن ETP ومقارنته بالهطول المطري Pmm خلال نفس الفترة، لاحظ الجدول (7) الذي يوضح أن العجز المائي في الربيع ودرجات متفاوتة يبدأ في ست من المحطات المدروسة (عدا جبلة) في شهر آذار ويتأخر إلى شهر نيسان في جبلة. ونجد أن درجة العجز المائي ترتفع كلما ازدادت جفافية المنطقة وحتى أن

وسرعة الرياح. الجدول (8) يبين قيم ET_r الربيعي للماء. خلال المرحلة الحرجة لاستهلاك القمح

الجدول (8) يبين قيم ET_r (مم) خلال الفترة من بداية آذار حتى 15 نيسان (المرحلة الحرجة) لنمو القمح الربيعي في المناطق المدروسة

كمية الأمطار الهائلة خلال هذه المرحلة	رطوبة جوية أقل من 20%		رطوبة جوية أكبر من 70%		الرطوبة الجوية
	(8-5)	(5-0)	(8-5)	(5-0)	المحطة
Pmm	(8-5)	(5-0)	(8-5)	(5-0)	سرعة الرياح م/ثا
147.8	171.6	164.5	157.3	150.2	جبلية
61	149.8	146.6	137.3	131.1	المسلمية
66.5	147.6	141.5	135.3	129.2	الحسكة
38.6	167.9	161	154.0	146.9	المرجعية
56.9	150.4	144.1	137.8	131.6	السلمية
72.2	154.2	147.7	141.3	134.9	حمص
55.7	171.1	164.2	157.1	149.9	أزرع

وفقاً لما هو محدد في الجدول (8) حتى يمكن الحصول على إنتاجية عالية.

التبخر نتح الحقيقي ET_r لأشجار الحمضيات: تتمتع أشجار الحمضيات بقدرة كبيرة على مقاومة النتح عن طريق التحكم بمسام الأوراق وهذه المقاومة تتغير تبعاً لظروف الحرارة والرطوبة الجوية. فقد وجد أن الحمضيات تبدي مراقبة أكبر على فقد الماء

يلاحظ من الجدول (8) ازدياد قيم ET_r مع زيادة سرعة الرياح وانخفاض الرطوبة الجوية. وبمقارنة متوسط كميات الأمطار الهائلة خلال هذه الفترة مع قيم ET_r نجد أن الأمطار هي أقل وبشكل ملحوظ من ET_r باستثناء المنطقة الساحلية (جبلية) حيث تكون الأمطار كافية تقريباً. ولذلك لا بد من الري في باقي المناطق المدروسة وبدرجات متفاوتة

بالنتج تحت الظروف الجافة والحارة عنها
تحت الظروف الرطبة والباردة (مطر،
1983).

إن أهمية تقدير ET_r للحمضيات تكمن
في أنه الأساس العملي لتحديد الكميات اللازمة
من الماء خلال المراحل المختلفة لنمو النبات
والذي لا يمكن أن ينمو وينتج بشكل طبيعي
خلال الفترة الجافة إلا بتوفر الري.

تم حساب ET_r للحمضيات استناداً لقيم
 ETP المحسوبة وفقاً لتورك كمتوسط لفترة
10 سنوات بالاستعانة بقيم K_c المتغيرة من
شهر لآخر وحسب عمر الأشجار ونظافة
البيستان (جدول 5)، لهذا تم اختيار منطقتين

فقط تنتشر فيها وبدرجة متفاوتة زراعة
الحمضيات، الأولى منطقة جافة وتمثلها
المريعية (دير الزور)، والثانية نصف رطبة
تمثلها جبلة حيث أن الفترة الجافة الممكنة فيها
تمتد من نيسان وحتى نهاية تشرين الثاني،
ولذلك فقد حسبت قيم ET_r لمحطة المريعية
الجافة خلال أشهر السنة بالكامل بينما
اقتصرت في جبلة على الفترة الجافة المحتملة
فقط. هذه النتائج مدونة في الجدولين
(9 و 10).

الجدول (9) يبين تغير قيم ETr (مم) خلال أشهر السنة في بستين الحمضيات المختلفة الأعمار والنظافة من الأشجار في المربعية (دير الزور).

أشجار تغطي 20 % من سطح التربة		أشجار تغطي 50 % من سطح التربة		أشجار كبيرة تغطي < 70 % من سطح التربة		الشهر
بستان نظيف	بستان +أعشاب	بستان نظيف	بستان +أعشاب	بستان نظيف	بستان +أعشاب	
52.4	95.3	61.9	85.7	71.4	85.7	ت 1 Oct
33	60	39	54	45	54	ت 2 Nov
15.5	29.4	18.6	26.3	21.7	26.3	ك 1 Dec
16.3	31	19.6	27.8	22.9	27.8	ك 2 Jan
25.8	49	36.9	43.8	36.1	43.8	شباط Feb
35.6	75.3	43.6	67.4	51.5	67.4	آذار Mar
54.5	115.2	66.7	103	78.8	103	نيسان Apr
70.4	148.6	86	133	101.7	133	أيار May
85.2	179.8	104.1	160.9	123	160.9	حزيران Jun
88.8	178.6	108.6	167.8	138.2	167.8	تموز Jul
91.4	173.7	109.7	155.4	128	155.4	أب Aug
76.1	144.7	91.4	129.4	106.6	129.4	أيلول Sep

الجدول (10) يبين تغير قيم ETr (مم) خلال الأشهر الجافة في بستين الحمضيات المختلفة الأعمار والنظافة من الأشجار في جبلة.

أشجار تغطي 20 % من سطح التربة		أشجار تغطي 50 % من سطح التربة		أشجار كبيرة تغطي < 70 % من سطح التربة		حالة البستان/ الأشهر
بستان نظيف	بستان +أعشاب	بستان نظيف	بستان +أعشاب	بستان نظيف	بستان +أعشاب	
67.2	142	82.2	127	97.1	127	أيار May
77.7	164.1	95	146.8	112.3	146.8	حزيران Jun
76.4	161.4	93.4	144.4	118.9	144.4	تموز Jul
81.7	155.2	98	138.9	114.3	138.9	أب Aug
70.6	134.2	84.7	120.1	98.9	120.1	أيلول Sep
49.7	90.5	58.8	81.4	67.8	81.4	ت 1 Oct
37.3	67.8	44	61	50.8	61	ت 2 Nov

يقلل كثيراً من إنتاج الأشجار لذلك فإن توفر مياه الري في الفترة المناسبة وبالكميات الكافية يؤدي إلى زيادة إنتاج الأشجار ويساهم في تخفيف أثر ظاهرة المقاومة الموجودة لدى أصناف الزيتون (مطر، 1983). تم حساب ET_r للمرحلتين الأكثر حساسية لاستهلاك الزيتون للماء والمذكورة سابقاً استناداً لقيم K_C التي تتراوح بين 0.4 - 0.7 تبعاً لعمر الأشجار والمسافة بينها وقيم ET_P المحسوبة لهاتين الفترتين في جيلة والنتائج معروضة في الجدول (11).

بمقارنة قيم ET_r في الجدولين (9 و 10) نجد أن قيم ET_r في المربعية هي أكبر بشكل ملحوظ مما هو عليه في جيلة، كما تزداد قيم ET_r بزيادة الأعشاب في البستان وهذه الزيادة تظهر بشكل أكبر في البساتين ذات الأصناف الصغيرة (تغطيه الأشجار 20% من سطح التربة) أما بالنسبة للبساتين النظيفة فإن قيم ET_r تزداد مع تقدم الأشجار بالعمر (تغطيتها تزيد على 70% من سطح التربة).

التبخّر نتج الحقيقي ET_r لأشجار الزيتون:

يعد الزيتون من الأشجار المقاومة للجفاف إلى حد كبير؛ إلا أن الجفاف المتعاقب

الجدول (11) قيم ET_r (مم) لبساتين الزيتون في جيلة خلال الفترات الحساسة لنقص الماء وحسب عمر الأشجار ومسافات الزراعة.

المرحلة الثانية مرحلة تصلب النواة	المرحلة الأولى ما قبل تفتح الأزهار	المرحلة حالة البستان
213.2	114.1	أشجار معمرة وغير متباعدة
121.8	80.6	أشجار فتية ومتباعدة

في هذه المنطقة فتكون مؤمنة بكميات المياه اللازمة لأن الأمطار قبل هذه المرحلة أو في بدايتها تزود المخزون المائي للتربة بشكل

إن مرحلة تصلب النواة (أب وأيلول) تتزامن مع فترة جافة ومسبوقة بفترة جافة، أما مرحلة ما قبل تفتح الأزهار (أذار ونيسان)

إن درجات الحرارة النشطة ($t > 10^{\circ}\text{C}$) التي اعتمدها سيليانينوف ترتبط بشكل قوي ومباشر بكمية الإشعاع الشمسي الوارد وبعده الهواء الجوي عن الإشباع وبالتالي فهي تحدد إلى درجة كبيرة كمية الماء المتبخرة خلال فترة محددة (Gringov, 1987).

إن قيمة المعامل H.T.K المناسبة لنمو إنتاج الحمضيات الجيد تقدر بنحو (1.2) إذا هطلت كمية دنيا من الأمطار خلال أشهر الصيف لا تقل عن 60 - 80 مم (Cinizina and Golsberg, 1973)، وبما أن الصيف في منطقتنا جاف تماماً لذلك لا بد من إضافة هذه الكمية المحسوبة كعامل تصحيح وبناءً على ذلك قمنا بحساب كميات الماء الواجب توفرها خلال كل شهر من أشهر الفترة الجافة في جيلة. حيث أخذت متوسطات الحرارة الشهرية (لفترة العشر سنوات) وقيمة H.T.K المشار لها سابقاً والنتائج المتحصل عليها مدونة في الجدول (12).

كاف، أما في حالة انحباس الأمطار فإن الأشجار قد تعاني من نقص الماء خلال هذه المرحلة وهذا ينعكس سلباً على الأزهار والعقد بالتالي الإنتاجية لذلك ومن أجل الحفاظ على النمو والإنتاج الطبيعي للأشجار في كلا المرحلتين المذكورتين يفضل إضافة الكميات اللازمة من المياه عن طريق الري وفقاً للكميات المحددة في الجدول (11).

الاستفادة من المعامل الحراري الرطوبي H.T.K في تقدير الاستهلاك الحقيقي للماء من قبل النبات:

بمعرفة القيمة المثلى للمعامل الحراري الرطوبي H.T.K لمرحلة نمو النبات وبمعرفة درجة الحرارة التقريبية خلال هذه الفترة يمكن حساب كمية الهطول المطري الواجب توفرها والتي تعبر في هذه الحالة عن كمية الماء الواجب إضافتها أي الاستهلاك الحقيقي للنبات.

الجدول (12) يبين كميات الماء الواجب إضافتها خلال أشهر الفترة الجافة لبستين الحمضيات في جبلة.

الشهر	أيار	حزيران	تموز	آب	أيلول	ت 1	ت 2
درجة الحرارة °C	20.1	23.1	25.5	26.6	24.8	20.8	15.8
مجموع الحرارة النشطة °C	623.1	693	790.5	824.6	744	644.8	474
كمية الماء الواجب إضافتها (مم)	74.7	83.1	94.8	98.9	89.2	77.3	56.8

باعتتماد هذه الطريقة عند عدم توفر المعطيات اللازمة للحساب بالطرق الأخرى. أخيراً وفي ضوء نتائج هذا البحث نجد أنه لرفع كفاءة استخدام الموارد المائية المتوفرة بشكل علمي مدروس يتطلب تحديد مدى الحاجة للماء من حيث المواعيد والكميات في كل منطقة من سوريا وفقاً لنوعية الزراعات القائمة والظروف الميئورولوجية السائدة.

بمقارنة القيم الموجودة في الجدول (12) مع القيم المحسوبة في الجدول (10) على أساس ETP و KC نجد أن هناك فرق يتراوح بين 10 - 25 مم حيث أن القيم المحسوبة على أساس المعامل الحراري الرطوبي H.T.K هي الأقل، ولكن إذا أخذنا بعين الاعتبار كمية الهطول المطري التي يجب أن تتوفر صيفاً والتي يجب إضافتها كعامل تصحيح فإن القيم تكون متقاربة ودقيقة، الأمر الذي يسمح

REFERENCES

المراجع

- الكنج، أسعد (1982): الري- منشورات جامعة تشرين.
- المرجع المناخي الزراعي للجمهورية العربية السورية (1975): منشورات المديرية العامة للأرصاد الجوية - مديرية المناخ، دمشق.
- مطر، عبدالله (1983): الري والصرف الزراعي - منشورات جامعة تشرين.
- موسى، علي (1986): المعجم الجغرافي المناخي - دار الفكر - دمشق.
- Chirkov, Y>I. (1986): *Agrometyrology. Hydrometeo*, Publ. Leningrad. PP. 296.
- Cinizina, N.I.,Golisberg. I.A. (1973): *Agroklimatology. Hydrometo*, Publ. Leningrad. PP 344.
- Gringov. I.G. (1987): *Agrometeorology. Hydrometo*, Publ. Leningrad, pp 310.
- Hanke, B. (1986): *Wasser in der Pflanzen produktion*. VEB Deutscher Land Wirtschafts verlag, Berlin.
- Schrödter, H. (1985): *Verdunstung: Anwendungsorientierte Mess-verfahren und Bestimmungsmethoden*. Spriger, Berlin.